

## SCR 촉매와 AOC 촉매에서 환원제 분사에 따른 NO<sub>x</sub> 저감효율과 NH<sub>3</sub> 변환효율에 관한 실험적 연구

동 윤 희<sup>1)</sup> · 최 정 황<sup>1)</sup> · 조 용 석<sup>2)</sup> · 이 성 육<sup>2)</sup> · 이 승 호<sup>3)</sup> · 오 상 기<sup>3)</sup> · 박 현 대<sup>4)</sup>

국민대학교 자동차전문대학원<sup>1)</sup> · 국민대학교 기계·자동차공학부<sup>2)</sup> · 경기공업대학 자동차과<sup>3)</sup> · 일진전기<sup>4)</sup>

### An Experimental Study on NO<sub>x</sub> Reduction Efficiency and NH<sub>3</sub> Conversion Efficiency under Various Conditions of Reductant Injection on SCR and AOC

Yoonhee Dong<sup>\*1)</sup> · Junghwang Choi<sup>1)</sup> · Yongseok Cho<sup>2)</sup> · Seangwock Lee<sup>2)</sup> ·  
Seongho Lee<sup>3)</sup> · Sangki Oh<sup>3)</sup> · Hyundae Park<sup>4)</sup>

<sup>1)</sup>Graduated School of Automotive Engineering, Kookmin University, Seoul 136-702, Korea

<sup>2)</sup>School of Mechanical and Automotive Engineering, Kookmin University, Seoul 136-702, Korea

<sup>3)</sup>Department of Automotive Engineering, Kyonggi Institute of Technology College, Gyeonggi 429-792, Korea

<sup>4)</sup>Ijin Electric Co., 112-83 Annyoung-dong, Taean-eup, Hwasung-si, Gyeoggi 445-976, Korea

(Received 9 December 2009 / Accepted 2 February 2010)

**Abstract :** As the environmental regulation of vehicle emission is strengthened, investigations for NO<sub>x</sub> and PM reduction strategies are popularly conducted. Two current available technologies for continuous NO<sub>x</sub> reduction onboard diesel vehicles are Selective Catalytic Reduction (SCR) using aqueous urea and lean NO<sub>x</sub> trap (LNT) catalysts. The experiments were conducted to investigate the NO<sub>x</sub> reduction performance of SCR system which can control the ratio of NO/NO<sub>2</sub>, temperature and SV(space velocity), and the model gas was used which is similar to a diesel exhaust gas. The maximum reduction efficiency is indicated when the NO:NO<sub>2</sub> ratio is 1:1 and the SV is 30,000 h<sup>-1</sup> in 300°C. Generally, ammonia slip from SCR reactors are rooted to incomplete conversion of NH<sub>3</sub> over the SCR. In this research, slip was occurred in 6cases (except low SV and NO:NO<sub>2</sub> ratio is 1:1) after SCR. Among 6 case of slip occurrence, the maximum conversion efficiency is observed when SV is 60,000 h<sup>-1</sup> in 400°C.

**Key words :** NO<sub>x</sub>(질소산화물), NH<sub>3</sub> slip(암모니아 slip), SCR(Selective Catalytic Reduction, 선택적 환원 촉매), SV(Space velocity, 공간속도), AOC(Ammonia Oxidation Catalyst, 암모니아 산화촉매)

#### Nomenclature

SV : space velocity, [h<sup>-1</sup>]

AR : aspect ratio

#### 1. 서 론

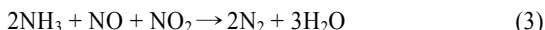
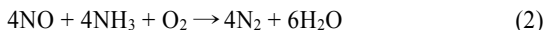
디젤 기관은 가솔린 기관에 비해 약 40% 높은 경

제적인 연료소비율과 20% 낮은 CO<sub>2</sub> 배출 및 내구성으로 점점 증가하는 추세에 있다. 그러나 최근 자동차 배기ガ스에 대한 환경규제가 강화되면서, 디젤기관에서 발생되는 대표적인 유해배출물인 질소산화물(NO<sub>x</sub>)과 입자상물질(PM)의 저감 기술에 대한 연구가 활발히 진행 중에 있다. NO<sub>x</sub> 저감방법으로는 암모니아(NH<sub>3</sub>)와 같이 질소를 포함하는 물질을 환원제로 사용하는 선택적 환원촉매(SCR: Selective

\*Corresponding author, E-mail: dongssi@naver.com

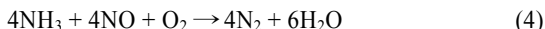
Catalytic Reduction) 방법이 상용화되어 사용되고 있다.<sup>1)</sup>

SCR은 NO<sub>x</sub>가 촉매를 통과하면서 다음과 같은 반응식을 거쳐 무해한 N<sub>2</sub>와 H<sub>2</sub>O로 환원된다.



NO<sub>x</sub> 환원반응식의 빠르기는 (3), (2), (1) 순으로 나타난다.

이론적으로 NH<sub>3</sub>:NO<sub>x</sub> = 1:1 일 때 NH<sub>3</sub>의 슬립은 일어나지 않지만<sup>2)</sup> 실제 기관의 SCR후단에서는 저온의 조건이나 NH<sub>3</sub> 과다분사로 인해 NH<sub>3</sub> 슬립이 일어나게 된다. 슬립된 NH<sub>3</sub>는 암모니아 산화촉매(AOC: Ammonia Oxidation Catalyst)를 통과시켜 다음과 같은 세 가지의 반응식을 거쳐 N<sub>2</sub>와 H<sub>2</sub>O로 산화된다.<sup>3)</sup>



따라서 본 연구에서는 모델가스를 사용하는 실험장치를 제작하여 실제 기관에서 배출하는 배기ガ스와 유사한 조건으로 모사하여 배기ガ스 내 NO:NO<sub>2</sub> 비율과 공간속도, 온도에 따른 SCR과 AOC의 NO<sub>x</sub>, NH<sub>3</sub> 변환효율 특성을 파악하였다.

## 2. 실험장치 및 방법

### 2.1 SCR 및 AOC 실험장치

실험에 사용된 촉매는 제올라이트(Zeolite) 계열의 촉매이며 셀밀도 400 cpsi, 재질은 Cordierite이고, SCR과 AOC 시편은 실제 크기의 촉매에서 공간속도에 따라 Table 1과 같이 절단하여 제작하였다. 실험에 사용된 SCR과 AOC 시편의 실제 형상은 Fig. 1에 나타내었다. 촉매의 AR비는 1:2로 고정하였다.

Fig. 2는 모사ガ스를 이용하여 촉매의 성능을 분석하기 위한 실험장치의 개략도이다. SCR 후단에 AOC를 장착하였으며, 촉매 전·후단에 열전대를 장

Table 1 Size of catalyst

공간속도	SCR 촉매치수(mm)	AOC 촉매치수(mm)
30000 h <sup>-1</sup>	29 × 29 × 58	19 × 19 × 38
60000 h <sup>-1</sup>	24 × 24 × 48	15.5 × 15.5 × 30
90000 h <sup>-1</sup>	20 × 20 × 40	13 × 13 × 26

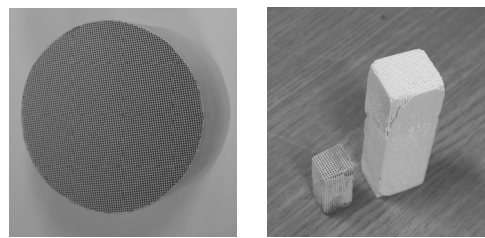


Fig. 1 SCR and AOC for rig-test

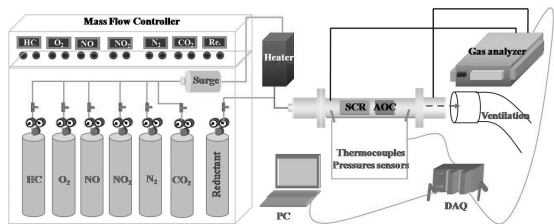


Fig. 2 Schematic diagram of test-rig for the experiment



Fig. 3 Chemiluminescence detector

착하여 온도를 측정하였다. 유입되는 모사ガ스는 MFC(Mass Flow Controller)를 사용하여 실제 디젤기관의 배기ガ스 조성 및 유량조건과 유사하게 조절하였다.

Fig. 3은 분석기의 외형을 나타내고 있다. SCR과 AOC 전·후단에서 Eco Physics 사의 CLD 844 CMh 분석기를 사용하여 0 ~ 500 ppm 범위의 NO<sub>x</sub>와 NH<sub>3</sub>의 농도를 측정하였다.

### 2.2 실험방법 및 조건

#### 2.2.1 실험방법

모사ガ스 실험은 기본적으로 가스의 조성을 NO<sub>x</sub>

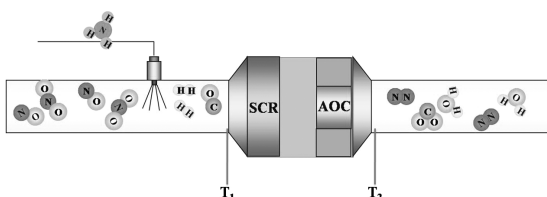


Fig. 4 Schematic diagram of catalyst for the experiment

농도 250 ppm으로 유지한 상태에서 촉매 성능에 영향을 미치는 요인들을 변화시켜가면서 실시하였다. Fig. 4는 촉매 전·후단 실험장치의 개략도이고 온도를 측정하는 열전대의 위치를 보여준다. 모델가스가 흘러가면서 촉매 전단에서 분사된 NH<sub>3</sub>와 혼합되어 SCR 촉매를 지나도록 설계하였다.

T<sub>1</sub>은 NH<sub>3</sub>와 혼합된 가스의 촉매 전단 온도이고 T<sub>2</sub>는 촉매 후단에서 나오는 모사가스의 온도이다. 같은 지점에서 CLD를 이용하여 각 조건 촉매 전·후단 NO<sub>x</sub> 와 NH<sub>3</sub>농도를 측정하였다.

### 2.2.2 NO<sub>x</sub> 저감 실험조건

실제 4기통 디젤기관의 중속·중부하 일 때 발생하는 배기ガ스의 조성을 기준으로 실험하였으며 Table 2는 실험에 사용된 모사가스의 조성을 나타낸다.<sup>4)</sup>

첫 번째 실험변수인 NO:NO<sub>2</sub> 비율은 1:1, 2:1, 1:2로 변경하였고, 두 번째 실험변수인 공간속도는 30000 h<sup>-1</sup>, 60000 h<sup>-1</sup>, 90000 h<sup>-1</sup> 조건으로 각각의 상태에서 NO<sub>x</sub> 저감효율을 확인하였다. 공간속도는 배기 유량(L/min)을 촉매부피(m<sup>3</sup>)로 나눈 값으로 가스가 촉매에 머무는 시간을 의미하며 공간속도를 바꿔주기 위해서는 가스의 유량을 바꾸거나 촉매의 부피를 바꾸면 된다.

본 논문에서는 AR비를 고정하고 Table 1에 있는 체적에 따라 유량을 조절하였다.

세번째 실험변수는 촉매에서의 반응온도이며 본 실험에서는 히터를 통해 모사가스를 가열하여 촉매

Table 2 Composition of model gas

NO <sub>x</sub>	250 ppm
HC	50 ppm
CO <sub>2</sub>	12%
O <sub>2</sub>	7 %
N <sub>2</sub>	balance

전단의 온도를 200°C, 300°C, 400°C로 변환시켜 각 온도에서의 NO<sub>x</sub> 저감효율을 확인하였다.

환원제(NH<sub>3</sub>)양은 NO<sub>x</sub> 변환효율에 직접적인 영향을 미치는 인자로서 많은 연구를 통해 NO<sub>x</sub>:NH<sub>3</sub> = 1:1로 분사할 경우 최적인 것으로 나타나 있다. NO<sub>x</sub>:NH<sub>3</sub> = 1:2의 비율로 분사할 경우 저온에서 변환효율은 다소 증가하나 고온에서는 NO<sub>x</sub>:NH<sub>3</sub> = 1:1일 때와 비슷하며 오히려 과다한 NH<sub>3</sub>의 분사로 인한 NH<sub>3</sub> 슬립 현상이 발생하여 2차오염이 생기는 문제가 나타난다.<sup>3)</sup>

본 연구에서는 SCR의 저감특성을 파악하기 위해 최적의 조건인 NO<sub>x</sub>:NH<sub>3</sub> = 1:1로 분사하여 실험하였다.

### 2.2.3 NH<sub>3</sub> 슬립 실험조건

NH<sub>3</sub>의 슬립은 위에서 언급한 것처럼 저온상태와 과다분사에 의해서 발생한다. NH<sub>3</sub>의 분사량을 NO<sub>x</sub>:NH<sub>3</sub> = 1:1, 1:1.2, 1:1.4, 1:1.6로 바꾸어 이번 실험조건인 200 ~ 400°C 온도에서 예비실험한 결과 NO<sub>x</sub>:NH<sub>3</sub> = 1:1인 경우 NH<sub>3</sub> 슬립이 발생하지 않았고 과다 분사된 경우에 슬립이 일어났다.

본 연구에서는 AOC효율을 알아보기 위해 NO<sub>x</sub>:NH<sub>3</sub> = 1/1.2로 고정하였으며 모사가스 조성 및 NO/NO<sub>2</sub> 비율, 공간속도, 온도는 2.2.2 NO<sub>x</sub>저감 실험조건에서 기술한 바와 동일하게 실험하였다. 반응하지 못하고 슬립 된 NH<sub>3</sub>를 산화시키는 AOC를 SCR 후단에 장착함으로써 각 조건에서의 NH<sub>3</sub>변환효율을 측정하였다.

## 3. 실험결과 및 고찰

### 3.1 온도에 따른 NO<sub>x</sub> 저감 특성

Fig. 5는 모사가스의 NO:NO<sub>2</sub> 비율이 1:1로 일정할 때 온도에 따른 NO<sub>x</sub> 변환효율을 나타낸 그래프이다. 촉매는 300°C 조건에서 가장 높은 NO<sub>x</sub> 변환효율을 나타낸다. 이는 SCR이 가장 활발한 변환효율을 보이는 온도 영역이 300°C부근이기 때문이다. 이보다 낮거나 높은 200°C와 400°C 조건에서의 효율은 상대적으로 낮다. 200°C와 400°C, 두 온도 조건의 NO<sub>x</sub> 변환효율을 비교하면 큰 차이를 보이지 않으나 고온인 400°C 조건이 200°C 조건에 비하여 상대적으로 높은 변환효율을 보이는 것을 확인할 수 있다. 이

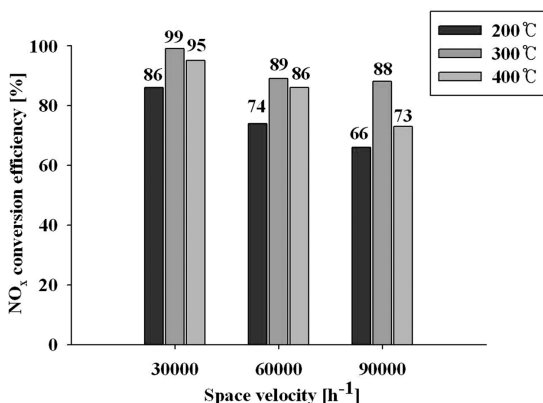


Fig. 5 NO<sub>x</sub> conversion efficiency of the SCR as a function of temperature under various SV (NO:NO<sub>2</sub> = 1:1, NO<sub>x</sub>:NH<sub>3</sub> = 1:1)

는 고온인 400°C일 때, 최고효율을 내는 활성화영역에 더 가까운 것으로 판단된다. 따라서, SCR 시스템을 사용할 경우 DOC를 이용한 산화 열이나 후분사 및 기타 가열장치를 이용하여 SCR의 활성화온도까지 도달하는 시간을 단축시키는 기술이 중요하다.

### 3.2 공간속도에 따른 NO<sub>x</sub> 저감 특성<sup>5)</sup>

공간속도에 따른 NO<sub>x</sub> 변환효율에 미치는 영향은 Fig. 6에서 확인할 수 있다. 모사가스의 NO:NO<sub>2</sub> 비율은 1:1로 일정하고 총 NO<sub>x</sub> 농도는 250 ppm이다. 공간속도가 30000 h<sup>-1</sup>에서 90000 h<sup>-1</sup>으로 빨라질수록 NO<sub>x</sub> 변환효율은 낮아지는 것을 확인할 수 있다. 이는 촉매를 지나는 유속이 빨라질수록 모사가스 중

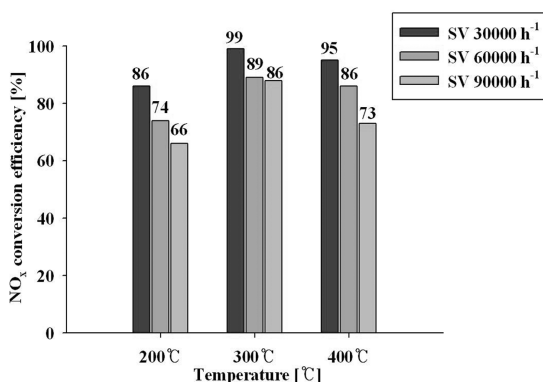


Fig. 6 NO<sub>x</sub> conversion efficiency of the SCR as a function of space velocity under various temperature (NO:NO<sub>2</sub> = 1:1, NO<sub>x</sub>:NH<sub>3</sub> = 1:1)

NO<sub>x</sub>가 촉매에서 반응할 수 있는 체류시간이 짧아짐에 따라 변환효율이 낮아지는 것으로 판단된다. 따라서 실제 기관에 적용할 때에는 공간속도가 빠른 영역에서의 NO<sub>x</sub> 저감을 위해 환원제의 분사량이나 촉매의 AR비의 변화가 필요하다.

### 3.3 NO/NO<sub>2</sub> 비율에 따른 NO<sub>x</sub> 저감 특성

Fig. 7 ~ 9는 공간속도 30000 h<sup>-1</sup>과 90000 h<sup>-1</sup>일 때 모사가스의 NO:NO<sub>2</sub> 비율에 따른 NO<sub>x</sub> 변환효율을 나타낸 그래프이다. 200°C 일 때 변환효율은 공간속도 30000 h<sup>-1</sup>, NO:NO<sub>2</sub> = 1:1 일 때 86%로 가장 높았으며 공간속도 90000 h<sup>-1</sup>, NO:NO<sub>2</sub> = 1:2 일 때 63%로 가장 낮은 결과를 나타내었다.

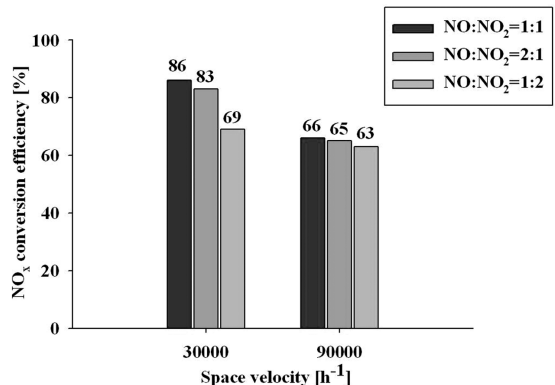


Fig. 7 NO<sub>x</sub> conversion efficiency of the SCR as a function of SV under various NO:NO<sub>2</sub> ratio (200°C, NO<sub>x</sub>:NH<sub>3</sub> = 1:1)

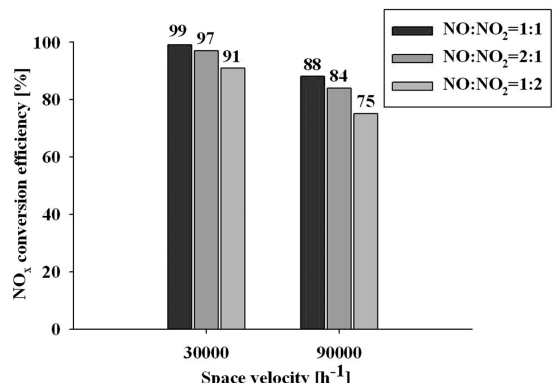


Fig. 8 NO<sub>x</sub> conversion efficiency of the SCR as a function of SV under various NO:NO<sub>2</sub> ratio (300°C, NO<sub>x</sub>:NH<sub>3</sub> = 1:1)

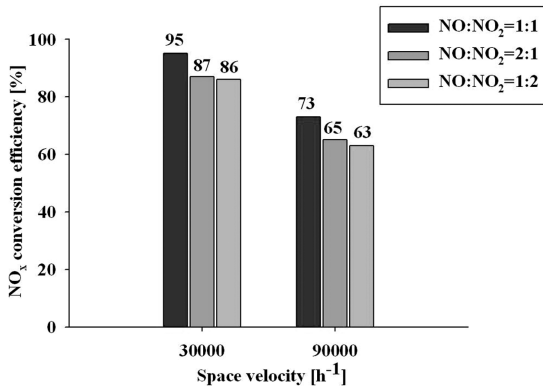


Fig. 9 NO<sub>x</sub> conversion efficiency of the SCR as a function of SV under various NO:NO<sub>2</sub> ratio (400°C, NO<sub>x</sub>:NH<sub>3</sub> = 1:1)

NO<sub>x</sub> 중 NO<sub>2</sub>의 비율이 높을수록 변환효율은 낮아지며 이는 앞에서 기술한 식 (1), (2), (3)에서 기술한 바와 같이 NO:NO<sub>2</sub> = 1:1일 때 가장 빠른 환원반응이 진행되고 반응하고 남은 NO<sub>2</sub>의 환원반응식은 가장 느린 반응이기 때문에 NO<sub>2</sub>의 비율이 높을수록 변환효율이 낮아진다.

300°C일 때 변환효율은 공간속도 30000 h<sup>-1</sup>, NO:NO<sub>2</sub> = 1:1 일 때 99%로 가장 높았으며 공간속도 90000 h<sup>-1</sup>, NO:NO<sub>2</sub> = 2:1 일 때 75%로 가장 낮은 결과를 나타내었다. 400°C 조건에서도 변환효율은 공간속도 30000 h<sup>-1</sup>, NO:NO<sub>2</sub> = 1:1 일 때 95%로 가장 높았으며 공간속도 90000 h<sup>-1</sup>, NO:NO<sub>2</sub> = 2:1 일 때 63%로 가장 낮은 결과를 나타내었다. 앞서 200°C 조건과 마찬가지로 NO<sub>2</sub>의 비율이 커짐에 따라서 변환효율이 낮아졌으며 NO의 양이 많아져도 NO:NO<sub>2</sub> = 1:1 일 때 보다 효율이 낮아지는 것을 확인할 수 있다. 기관에서 배출되는 NO<sub>x</sub>의 대부분이 NO이기 때문에 현재 SCR 전단의 DOC에 의해 NO를 NO<sub>2</sub>로 산화시켜 반응속도를 빠르게 하고 있으나 지나친 NO<sub>2</sub>의 증가는 오히려 역효과를 가져오므로 DOC에서의 변환효율도 향후 연구가 진행될 필요가 있다.

### 3.4 슬립된 NH<sub>3</sub>에 대한 AOC 변환효율

Fig. 10은 슬립된 6cases에서 NH<sub>3</sub> 변환효율을 나타낸 그라프이다. 공간속도 30000 h<sup>-1</sup>과 NO:NO<sub>2</sub> = 1:1 인 조건에서 슬립은 일어나지 않았다. 이는 공간속도가 빠르면 SCR에서 반응하지 못한 NH<sub>3</sub>가 많이

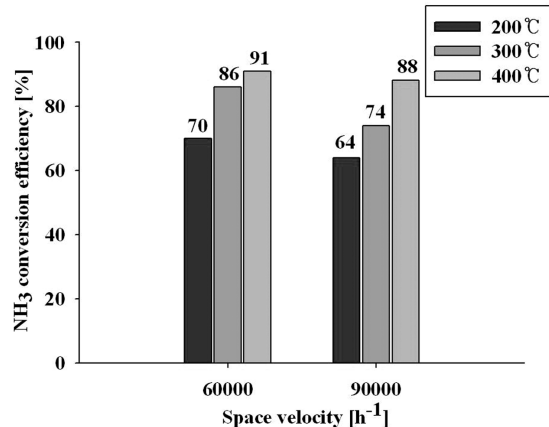


Fig. 10 NH<sub>3</sub> conversion efficiency of the AOC as a function of SV under various temperature (NO:NO<sub>2</sub> = 1:2, NO<sub>x</sub>:NH<sub>3</sub> = 1:1.2)

발생한다는 것을 알 수 있으며 NO<sub>2</sub> 비율이 들어날 수록 느린 화학반응 때문에 반응하지 못한 NH<sub>3</sub>가 슬립됨을 알 수 있었다.

AOC는 SCR과 마찬가지로 공간속도 60000 h<sup>-1</sup>일 때가 90000 h<sup>-1</sup>일 때 보다 효율이 높은 결과를 나타냈으며 이는 SCR과 마찬가지로 모사가스가 촉매에서 반응하는 시간이 길수록 변환효율이 좋아진다. 온도의 경우 SCR과 달리 300°C보다 400°C일 때 더 높은 효율을 나타내었으며, 이는 고온에서 효율이 높게 나타나는 경향은 비슷하나 최고효율이 나타나는 온도가 다르다. AOC의 경우 산화촉매 이므로 환원촉매와는 다르게 저감효율이 고온으로 갈수록 커지며, SCR은 저감효율이 높은 영역이 약 300 ~ 400°C인 것으로 확인되었다.

## 4. 결 론

본 연구는 여러 가지 실험변수를 두어 각각의 실험을 통해 SCR의 NO<sub>x</sub> 저감효율과 NH<sub>3</sub> 과다분사로 인해 슬립이 일어난 6case를 통해 AOC의 NH<sub>3</sub> 변환효율을 파악하였다.

- 1) NO:NO<sub>2</sub> = 1:1 비율일 때 SCR의 NO<sub>x</sub> 변환효율은 300°C에서 가장 높았으며, 공간속도가 느릴수록 높아진다.
- 2) NO:NO<sub>2</sub> 비율에 따라 SCR의 NO<sub>x</sub> 변환효율은 온도 조건에 따라 200°C, 300°C, 400°C 조건에서 모두 NO<sub>2</sub>의 비율이 커짐에 따라서 변환효율이 낮

- 아셨으며 NO의 양이 많아져도 NO:NO<sub>2</sub> = 1:1일 때 보다 효율이 낮아지는 것을 확인할 수 있다.
- 3) NH<sub>3</sub> 슬립은 공간속도가 느린 30000 h<sup>-1</sup>, NO:NO<sub>2</sub> = 1:1일 때는 일어나지 않았으며 공간속도가 빠른 60000 h<sup>-1</sup>, 90000 h<sup>-1</sup>일 때와 NO:NO<sub>2</sub> = 1:2 일 때 일어났다.
- 4) 슬립이 일어난 6cases에 대해 AOC의 변환효율은 고온 조건인 400°C와 공간속도가 느린 60000 h<sup>-1</sup> 조건에서 높은 효율을 나타낸다.

## 후 기

본 연구는 환경부 Eco-STAR Project 사업의 무·저 공해자동차사업단 지원 하에 일진전기(주) 환경사업부가 “전기히터/촉매 복합 재생방식 중형 차량용 DPF/DeNO<sub>x</sub>장치 개발”의 일환으로 수행되었으며, 이에 감사드립니다.

## References

- 1) R. M. Heck and R. J. Farrauto, Catalytic Air Pollution Control, Van Nostrand Reinhold, New York, 1995.
- 2) P. Tennison, C. Lambert and M. Levin, “NOx Control Development with Urea SCR on a Diesel Passenger Car,” SAE 2004-01-1291, 2004.
- 3) E. V. Hunnekes, P. V. A. M. van der Heijden and J. A. Patchett, “Ammonia Oxidation Catalysts for Mobile SCR Systems,” SAE 2006-01-0640, 2006.
- 4) J. B. Heywood, Internal Combustion Engine Fundamental, pp.148-149, McGraw-Hill, New York, 1988.
- 5) N. Y. Kim, Y. S. Park, D. S. Choi, H. Jung, Y. W. Kim, H. S. Jung, S. H. Kim, Y. G. Cho and S. H. Lee, “The Effect of Space Velocity(SV) on NO<sub>x</sub> Conversion Rate of Urea-SCR System,” Spring Conference Proceedings, KSAE, Vol.1, pp.285-290, 2006.